

## 亜鉛と生体反応 —特に炎症反応と c-fos の発現について—

柳 沢 裕 之, 野 寺 誠, 和 田 攻

埼玉医科大学衛生学教室

### Zinc and its action

Hiroyuki Yanagisawa, Makoto Nodera and Osamu Wada

*Department of Hygiene & Preventive Medicine, Faculty of Medicine, Saitama Medical School*

The present study was designed to examine if zinc (Zn) affects the development of unilateral ureteral obstruction (UUO)-induced tubulointerstitial nephropathy and the expression of the proto-oncogene, c-fos mRNA relating to the induction of apoptosis and carcinogenesis. Compared to rats fed a standard or a high Zn diet, rats fed a Zn deficiency diet showed a more influx of leukocytes into the interstitium and in part had the structural damage of glomeruli in the cortex of the obstructed kidney at day 3 following UUO. These histological changes, however, were ameliorated by administration of enalapril, an angiotensin (ANG) I converting enzyme inhibitor. Again, the expression of c-fos mRNA was observed only in the kidney of rats fed a Zn deficiency diet. Thus, it is suggested that Zn deficiency not only aggravates UUO-induced tubulointerstitial nephropathy via an increase in the action of ANG II but also enhances the expression of c-fos mRNA in the kidney.

亜鉛は、必須微量元素として、生体機能を司る種々の酵素活性の発現に関与し、生命維持には不可欠な元素である<sup>1)</sup>。現在までに、亜鉛の生体機能への影響については数多く報告されている<sup>1)</sup>が、亜鉛が生体反応に影響を及ぼすのかどうか、あまり知られていない。従って、この研究では、亜鉛が(1)閉塞性腎症モデルの病態、すなわち炎症反応<sup>2)</sup>(2)アポトーシスや発癌の誘導に関連する proto-oncogene である c-fos の発現<sup>3)</sup>にどのような影響を及ぼすのかを検討する。

### 方 法

1. 亜鉛含量の異なる 5 種類の特別食（亜鉛含量以外はすべて同一組成で亜鉛無添加・0.001%亜鉛添加食は低亜鉛食、0.003%亜鉛添加食は標準食、0.02%・0.04%亜鉛添加食は高亜鉛食）を準備し、Sprague-Dawley ラット（雄・約 350g）にその特別食を毎日等量与え、亜鉛欠乏状態から亜鉛過剰傾

向状態にある動物モデル（一群3匹）を作製した。飲水としては、蒸留水（亜鉛含量は、原子吸光法で検出感度以下）を用い、自由に摂取させた。この間、定期的に体重変化と血清Zn・Cu濃度をモニタリングした。

## 2. 特別食投与開始から50日目に、

- 1) 各群のラットの臓器（特に胸腺）重量を測定した。
- 2) 各群のラットの一側の尿管を結紮して、尿管閉塞性腎症モデルを作製した<sup>4)</sup>。また、新たに亜鉛無添加食ラットを用意し、尿管結紮術を施行する24時間前より1時間前まで、また、施行71時間後まで、約12時間毎に15mg/kgのangiotensin I converting enzyme inhibitor (enalapril) を経腹腔的に投与（計9回）した。72時間後、腎臓を採取し、その腎組織切片（H-E染色）を顕微鏡下で観察した。
- 3) 腎皮質のRNAを抽出後、RT-PCR法<sup>5)</sup>を用いて、c-fos mRNAを測定した。

## 結 果

1. 低亜鉛食（特に亜鉛無添加食）ラットでは、体重の減少・胸腺重量の減少・血清Cu/Zn比の上昇が観察された。高亜鉛食ラットと標準食ラットでは、体重・胸腺重量・血清Cn/Zn比に顕著な差は認められなかった（Table 1-3）。
2. 高亜鉛食ラットや標準食ラットに対して、低亜鉛食（特に亜鉛無添加食）ラットでは、閉塞腎において、一部糸球体構造の損傷が観察され、また、間質への炎症性細胞浸潤の程度が高度であった。enalaprilの投与で、これらの変化は軽減された（Fig. 1）。
3. c-fos mRNAの発現は、高亜鉛食ラットや標準食ラットに対して、低亜鉛食（特に亜鉛無添加食）ラットで増強していた（未提示）。

## 考 察

1. 低亜鉛食（特に亜鉛無添加食）ラットで観察される体重の減少、胸腺重量の減少、血清Cu/Zn比の上昇は、慢性的亜鉛欠乏状態の結果生ずるものと考えられる。また、慢性的亜鉛過剰傾向状態では、発育の異常などは認められない。
2. 閉塞性腎症では、renin-angiotensin systemが亢進することが知られている<sup>6)</sup>。Angiotensin I converting enzyme inhibitorの投与によって、angiotensin IIの作用を抑制する結果、低亜鉛食（特に亜鉛無添加食）ラットの閉塞腎で組織像の改善、炎症性細胞浸潤の軽減が認められることから、亜鉛欠乏状態の閉塞性腎症では、他の亜鉛食群に比し、renin-angiotensin systemがさらに増強され、その結果、産生のより増大したangiotensin IIの作用により、閉塞性腎症の増悪が引き起こされることが示唆される。しかしながら、亜鉛の過剰傾向状態では、閉塞性腎症の病態は、あまり修飾されない。
3. アポトーシスや発癌に関連するc-fos mRNAの発現が低亜鉛食（特に亜鉛無添加食）ラットの腎皮質で増強していた。今後、亜鉛欠乏状態で、c-fosが腎においてどのような役割を果たすのか検討する必要がある。

**Table 1.** Changes in rat body weight

Zn content in diets	Feeding period		
	3 days	34 days	73 days
	Body weight		
0.04%	350	385	406
0.02%	350	350	382
0.003%	360	370	406
0.001%	370	336	360
Not added	350	330	332

Rat body weight (g) was measured at days 3, 34 and 73 after administration of various concentrations of Zn diets.

**Table 2.** Serum Zn concentrations and the Cu/Zn ratio

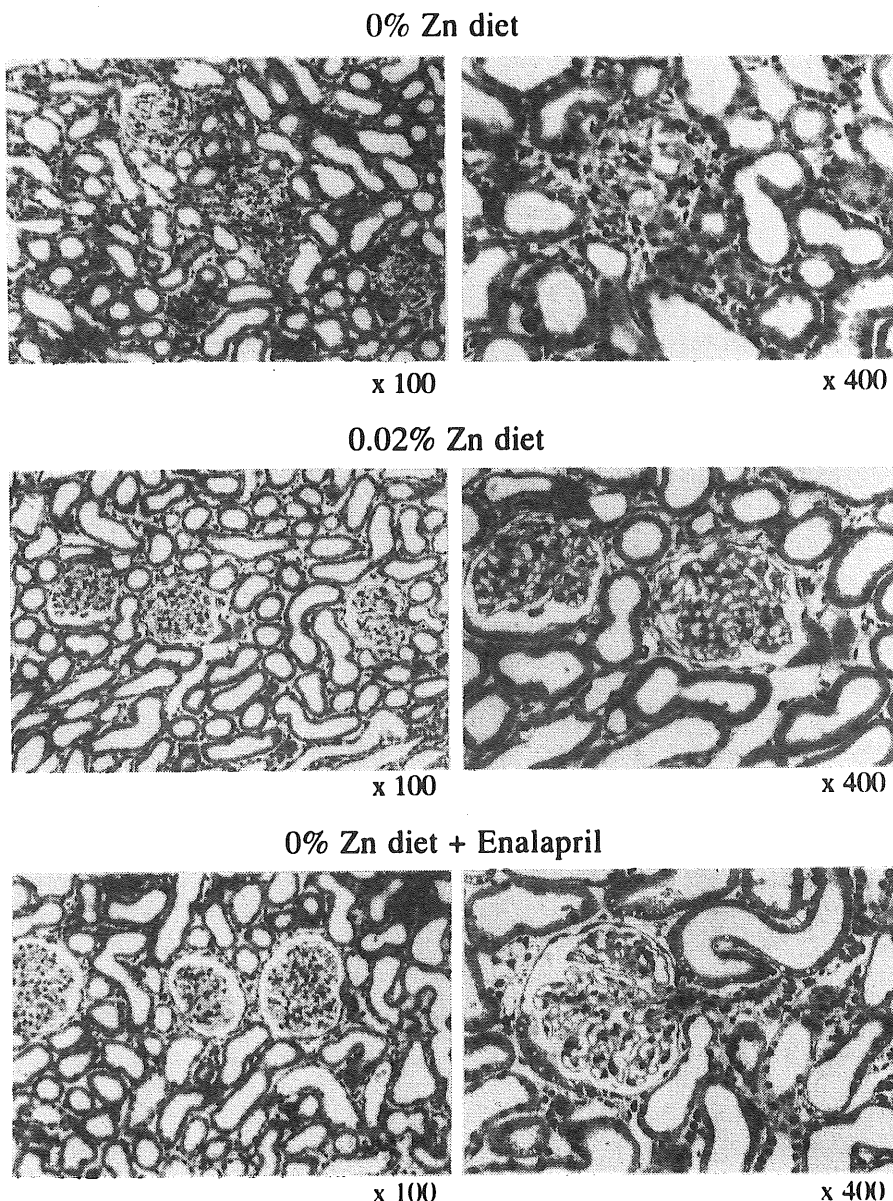
Zn content in diets		Feeding period					
		10 days	17 days	24 days	31 days	47 days	50 days
0.04%	Zn ( $\mu\text{g}/\text{dl}$ )	176	193	210	152	166	129
	Cu/Zn	0.27	0.43	0.12	0.64	0.41	0.69
0.02%	Zn ( $\mu\text{g}/\text{dl}$ )	149	186	155	137	123	120
	Cu/Zn	0.46	0.26	0.23	0.82	0.65	0.68
0.003%	Zn ( $\mu\text{g}/\text{dl}$ )	117	164	156	122	123	126
	Cu/Zn	0.64	0.37	0.49	0.79	0.63	0.67
0.001%	Zn ( $\mu\text{g}/\text{dl}$ )	124	114	120	90	135	121
	Cu/Zn	1.04	0.73	0.88	1.17	0.69	0.72
Not added	Zn ( $\mu\text{g}/\text{dl}$ )	121	83	132	135	85	117
	Cu/Zn	0.94	1.09	1.19	0.78	1.05	0.84

Serum Zn and Cu concentrations were obtained from rats at days 10, 17, 24, 31, 47 and 50 after administration of various concentrations of Zn diets.

**Table 3.** Rat thymus weight

Zn content in diets	Thymus weight
0.04%	0.51
0.02%	0.39
0.003%	0.48
0.001%	0.29
Not added	0.33

Rat thymus weight (g) was measured at day 50 after administration of various concentrations of Zn diets.



**Fig. 1** Photomicrographs of the cortex of the obstructed kidney from rats with unilateral ureteral obstruction fed a diet not added Zn or a 0.02% Zn-containing diet. Rats were subjected to unilateral ureteral obstruction at day 50 after administration of a diet not added, Zn or a 0.02% Zn-containing diet. Another group of rats given a diet not added Zn intraperitoneally received 15 mg/kg of the angiotensin I converting enzyme inhibitor, enalapril before and after ureteral obstruction as described in Methods. Kidneys were removed and stained with hematoxylin-eosin at day 3 following ureteral obstruction.

結論として、亜鉛は、閉塞性腎症モデルの病態である炎症反応に関与するだけでなく、腎でのproto-oncogeneの発現にも関係している。

### 参考文献

- 1) 和田 攻, 柳沢裕之 (1996) 日本臨床 54 : 5
- 2) Harris, K.P.G., G. F. Schreiner and S. Klahr (1989) Kidney Int. 36 : 210
- 3) 奥山隆三, 高橋 玲, 前田 盛 (1995) 臨床医 21 : 2088
- 4) Yanagisawa, H., N. Kurihara, S. Klahr, J. Morrissey and O. Wada (1994) Kidney Int. 45 : 245
- 5) Shultz, P. J., S. L. Archer and M. E. Rosenberg (1994) Kidney Int. 46 : 683
- 6) Yanagisawa, H., J. Morrissey, A. Morrison, M. L. Purkerson and S. Klahr (1990) Am. J. Physiol. 258 : F85